

Mehrkanal Kondo-Effekt in endlichen Gittern

Bachelorarbeits Kolloquium

Yannick Couzinié

Universität Hamburg
Fachbereich Physik
I. Institut für Theoretische Physik

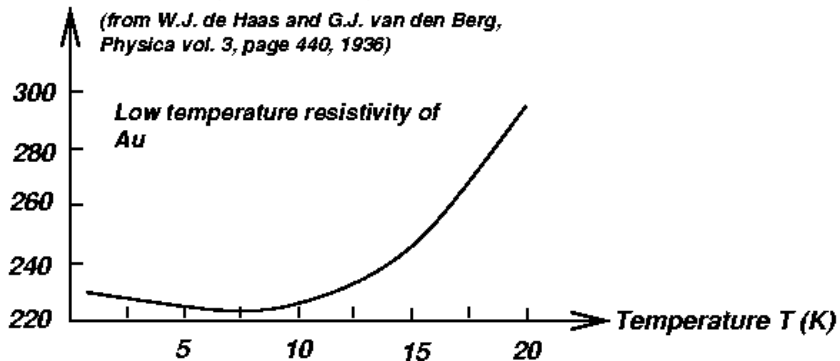
27. September 2016

Einleitung

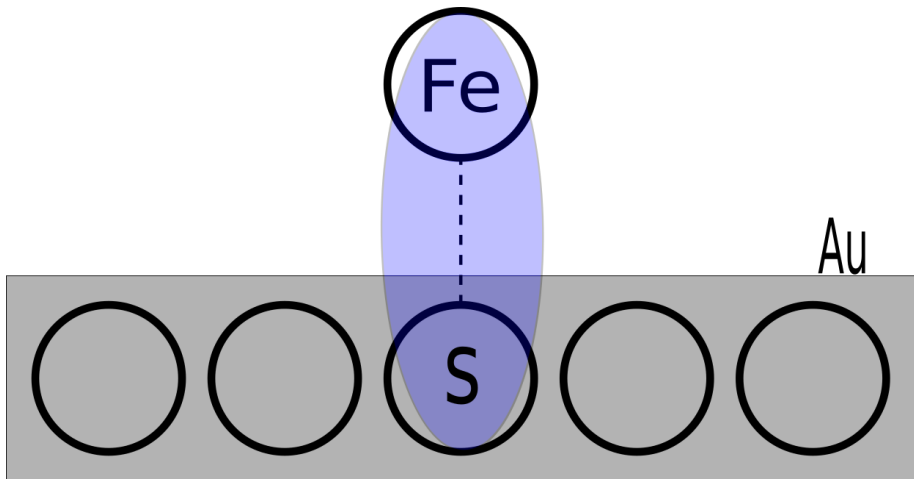
Widerstandsminimum

Resistance/Resistance(T=0 Celsius) x 10000

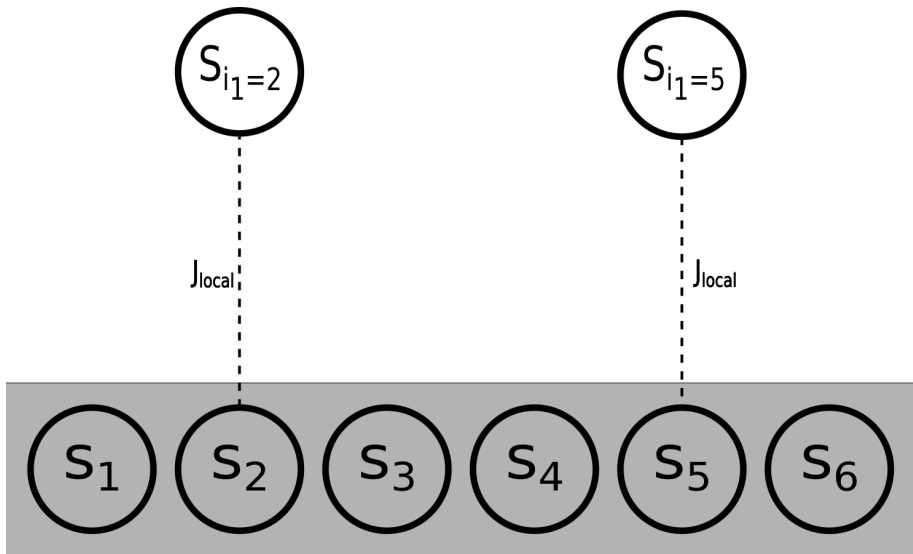
(from W.J. de Haas and G.J. van den Berg,
Physica vol. 3, page 440, 1936)



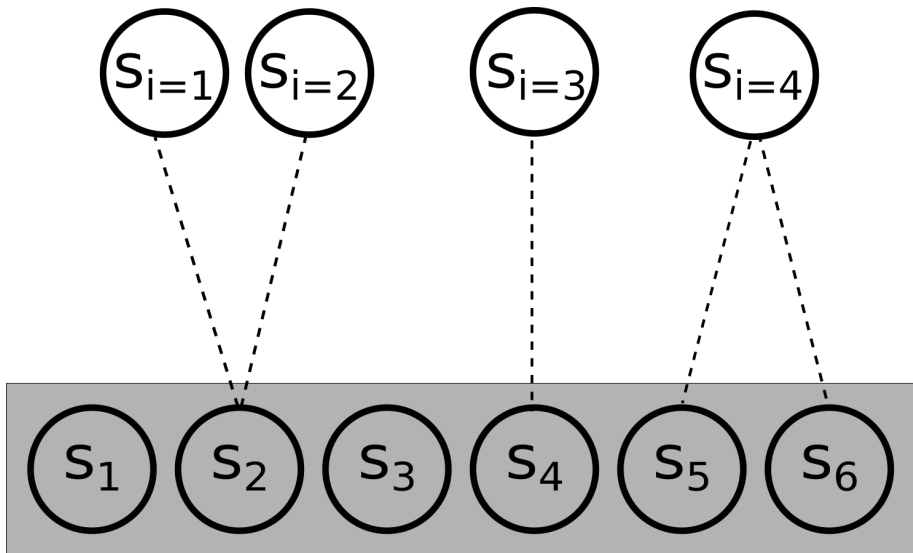
Kondos Erklärung



Lokale Kondo-Box



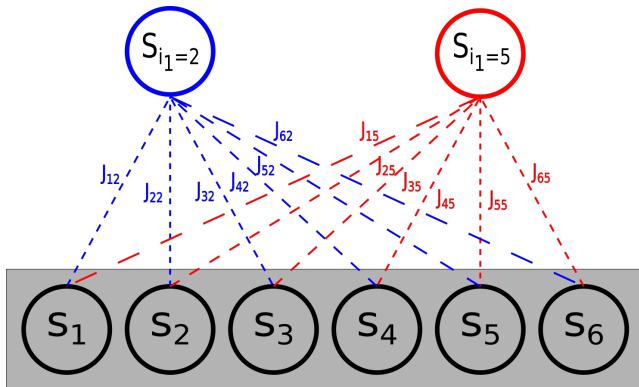
Lokale Kondo-Box



Modell

Ausgangsmodell

$$H = H_0 + H_1 = \sum_{jj'\sigma} t_{jj'} c_{j\sigma}^\dagger c_{j'\sigma} + \sum_{r=1}^R \sum_{n=1}^L \sum_{\alpha} \{x,y,z\} J_{ni_r}^{(\alpha)} s_n^{(\alpha)} S_{i_r}^{(\alpha)}$$



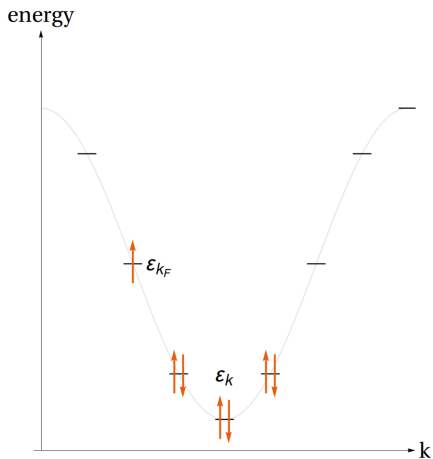
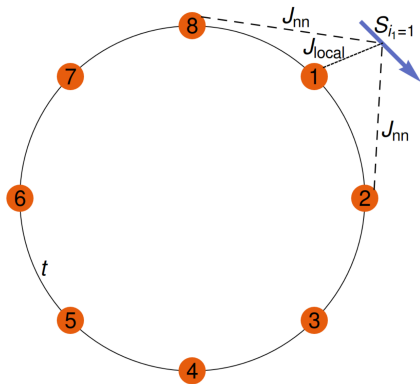
Effektives Modell

- $H^{\text{eff}} = P_0 H_1 P_0$
- Unitäre Transformation von Orts- in Impulsraum U.
- Unitäre Transformation innerhalb vom Impulsraum V.

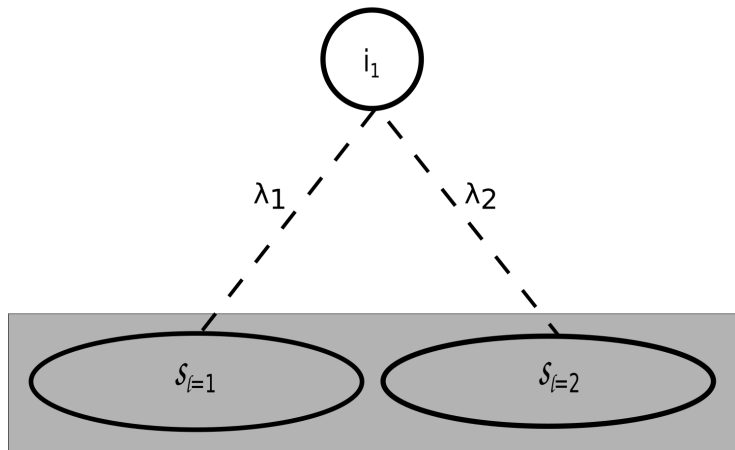
$$H^{\text{eff}} = \sum_{r=1}^R \sum_{\alpha}^{\{x,y,z\}} \sum_{\ell=1}^{\eta} \lambda_{\ell}^{(\alpha)}(r) s_{\ell}^{\alpha}(r) S_{i_r}^{(\alpha)} P_0$$

Eindimensionale Ringsysteme

Eindimensionale Ringsysteme

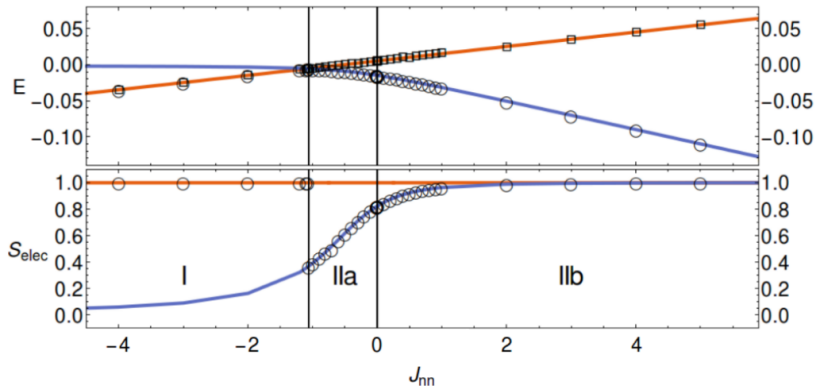


Effektives eindimensionales Ringsystem

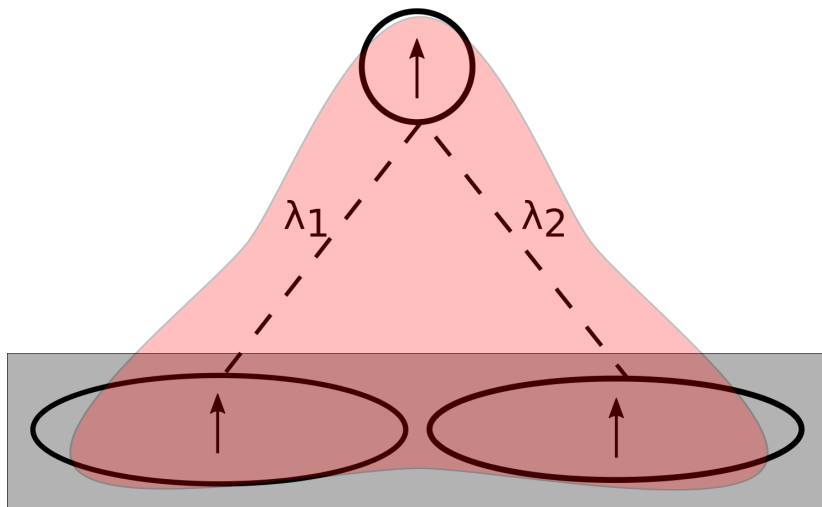


2 Fermi-Elektronen

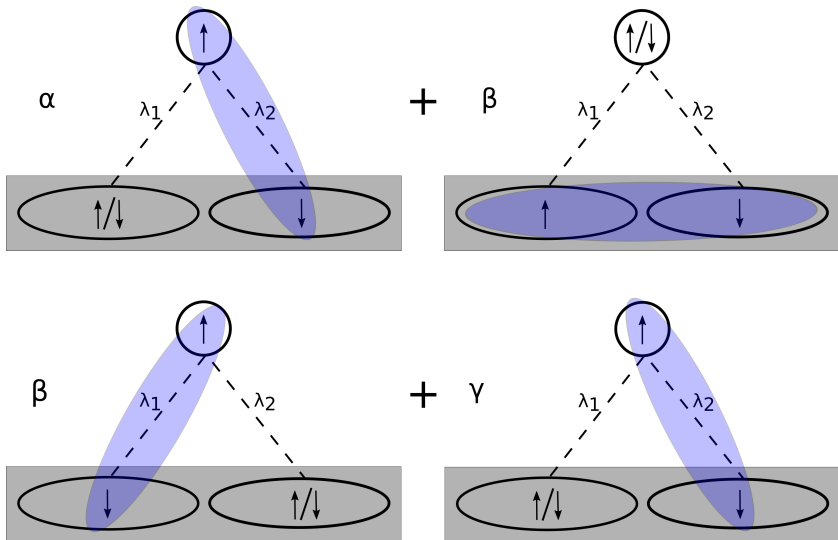
Numerische Daten



Zustandsdiagramme I

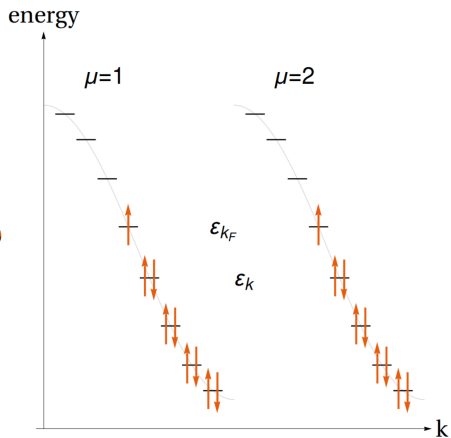
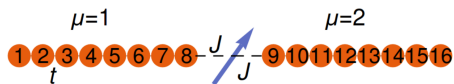


Zustandsdiagramme II

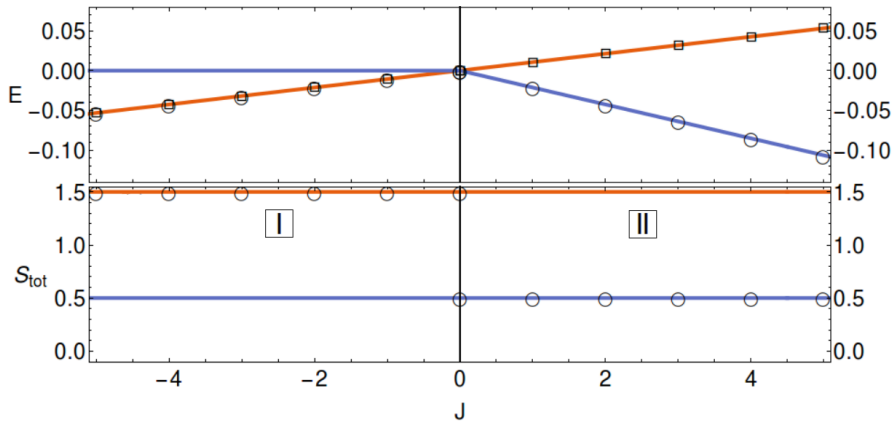


Forced Overscreening

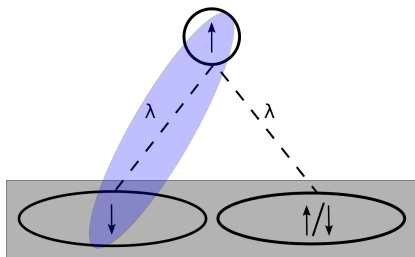
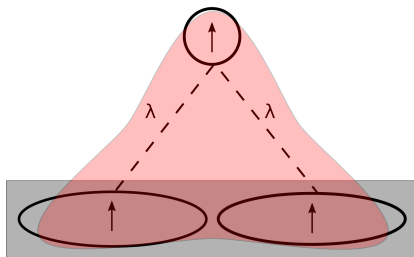
Zwei eindimensionale Ketten



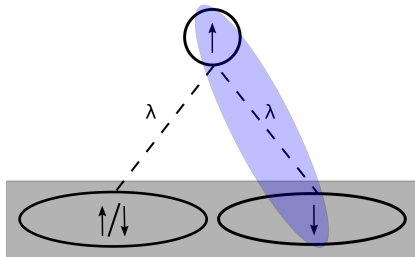
Numerische Daten



Zustandsdiagramme



+



Zusammenfassung

- Effektive Theorie für Kondo-Box mit nicht-lokaler, anisotroper Kopplung.
- Overscreening numerisch bestätigt.
- Nächste Schritte
 - Erweiterung auf zweite Ordnung Störungstheorie.
 - Mehrere Impurities in höheren Dimensionen.

Rechnungen

$$H^{\text{eff}} = \sum_{r=1}^R \sum_{\alpha}^{\{x,y,z\}} \sum_{n=1}^L J_{ni_r}^{(\alpha)} (P_0 s_n^{(\alpha)} P_0) S_{i_r}^{(\alpha)}$$

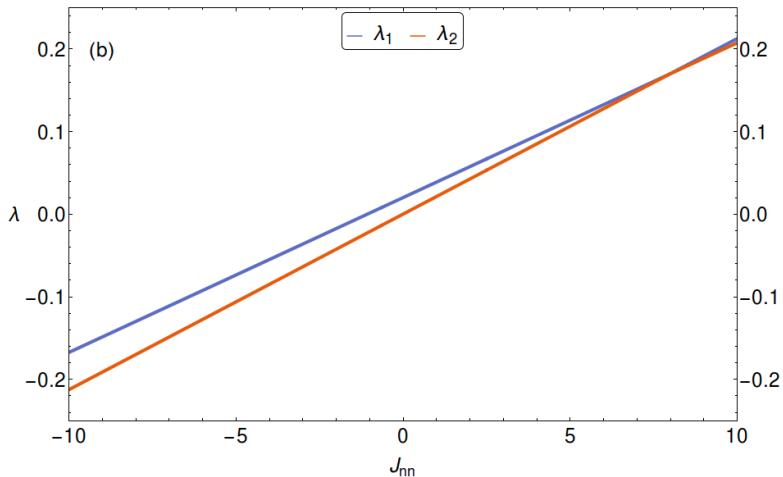
$$s_n = \frac{1}{2} \sum_{kk', gg', \sigma\sigma'} U_{kg;n}^\dagger c_{kg\sigma}^\dagger \sigma_{\sigma\sigma'} c_{k'g'\sigma'} U_{n;k'g'}$$

$$P_0 s_n P_0 = \frac{1}{2} \sum_{\sigma} \sigma_{\sigma\sigma} + \frac{1}{2} \sum_{gg', \sigma\sigma'} U_{k_{FG};n}^\dagger c_{k_{FG}\sigma}^\dagger \sigma_{\sigma\sigma'} c_{k_{FG}'\sigma'} U_{n;k_{FG}'}$$

$$H^{\text{eff}} = \sum_{r=1}^R \sum_{\alpha}^{\{x,y,z\}} \sum_{gg', \sigma\sigma'} \frac{1}{2} c_{k_{FG}\sigma}^\dagger \sigma_{\sigma\sigma'} c_{k_{FG}'\sigma'} \sum_{n=1}^L \left[J_{ni_r}^{(\alpha)} U_{k_{FG};n}^\dagger U_{n;k_{FG}'} \right] S_{i_r}^{(\alpha)} P_0$$

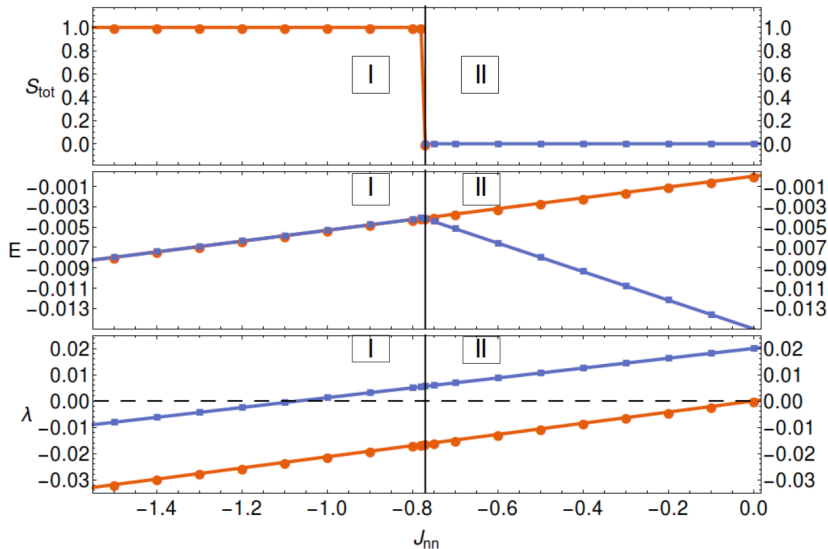
Ringsysteme

Effektive Kopplungen

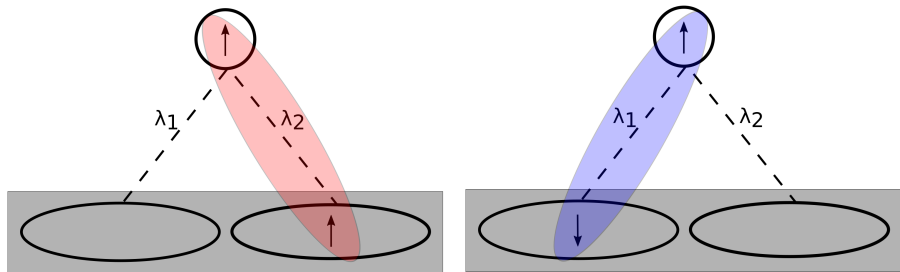


1 Fermi-Elektron

Numerische Daten



Zustandsdiagramme



2 Fermi-Elektronen

Numerische Daten

